



LLUVIAS



**CENEPRED**

Centro Nacional de Estimación, Prevención y  
Reducción del Riesgo de Desastres

## ESCENARIO DE RIESGO POR LLUVIAS 2022

PRONÓSTICO DE LLUVIA EN LA SELVA

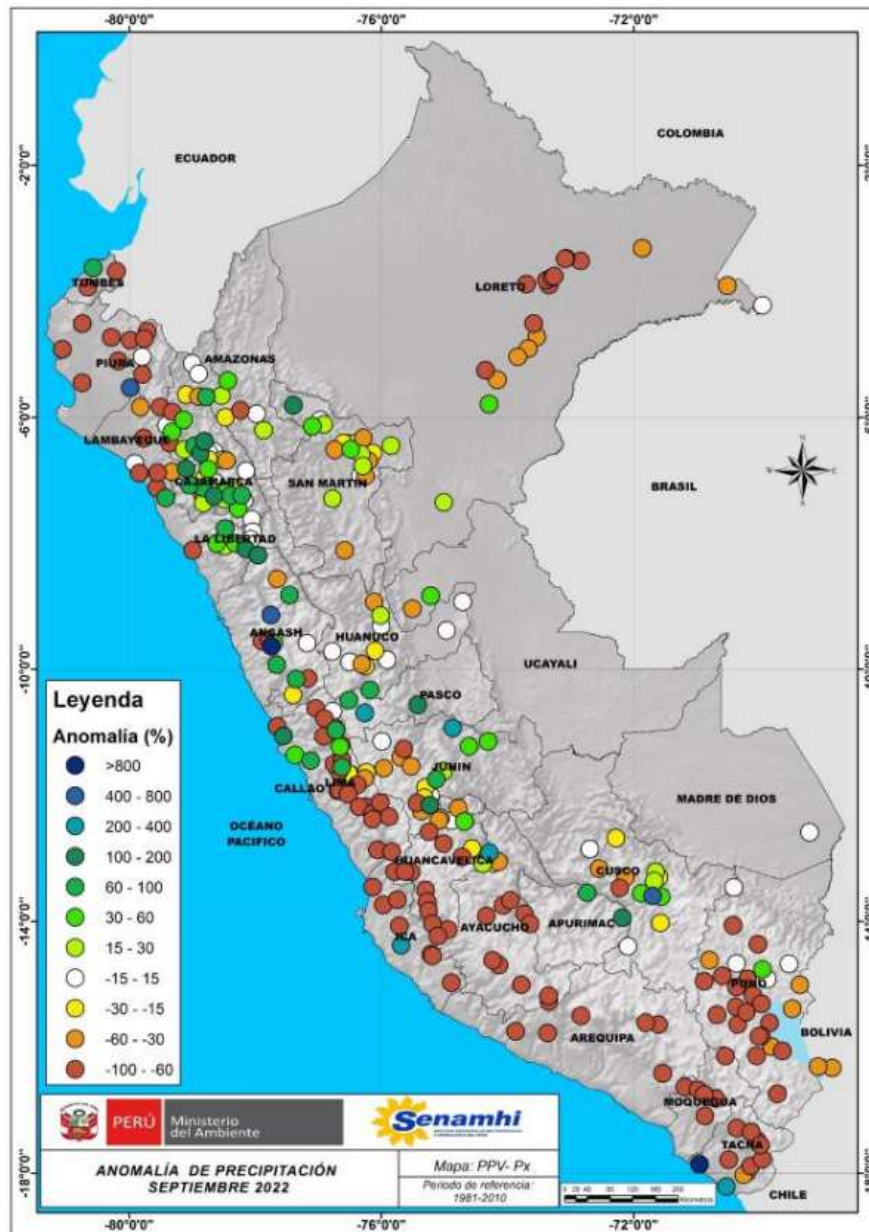
*DEL 28 AL 29 DE OCTUBRE DE 2022*

### I. COMPORTAMIENTO DE LAS PRECIPITACIONES A NIVEL NACIONAL

En setiembre, se tuvo acumulados sobre su normal climática en Cajamarca, Amazonas, La Libertad, San Martín, Huánuco, sierra central oriental (Ancash, Pasco, Junín) y algunas localidades de Huancavelica y Cusco. En estas regiones se llegó alcanzar superávit con anomalías de 15% a 100%.

La ausencia de precipitación se visibilizó en los departamentos de Piura, Lambayeque, Loreto, Lima, Ayacucho, Huancavelica, Arequipa, Moquegua, Tacna y Puno; donde, las deficiencias alcanzaron hasta un – 100% de anomalía porcentual. Esta condición es propia de la estación de transición e inicio del periodo de lluvias en la región Andina.

Figura 1. Anomalía mensual de precipitación – Septiembre 2022



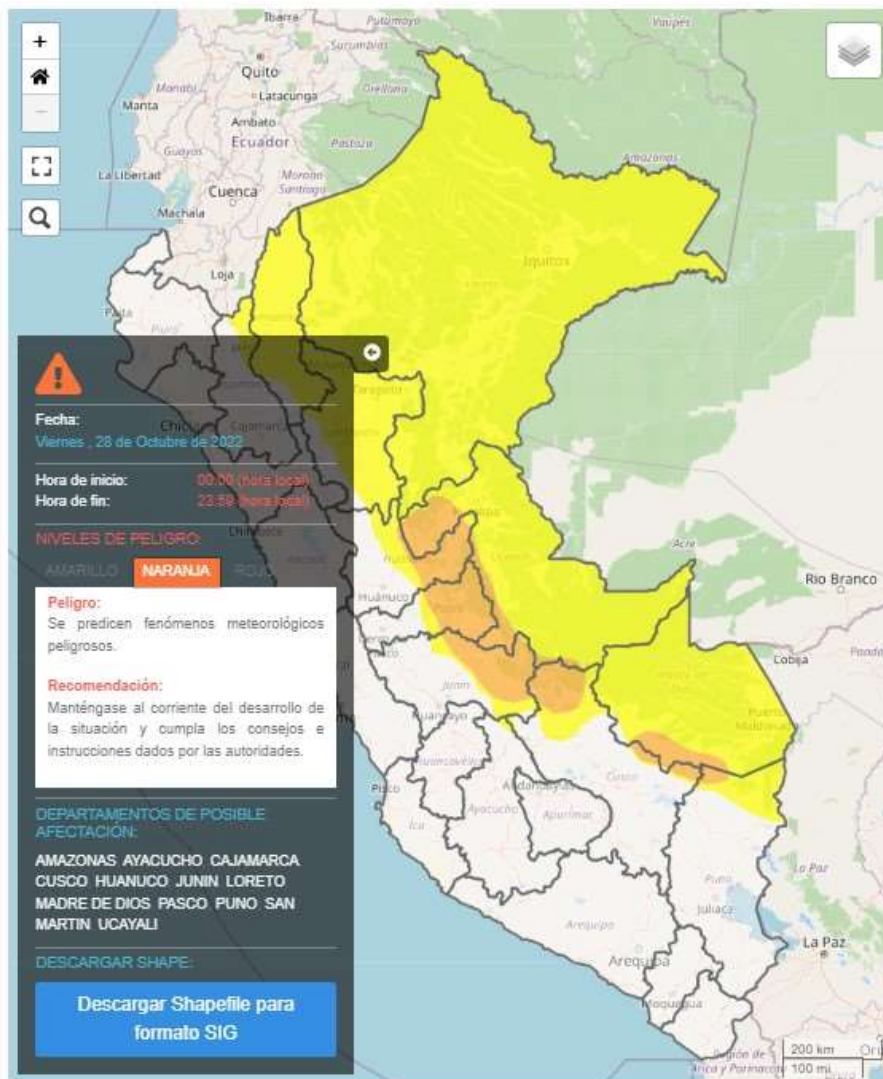
Fuente: SENAMHI (Septiembre, 2022).

## II. PERSPECTIVAS

El SENAMHI informa que, desde el viernes 28 al sábado 29 de octubre, se registrará lluvia de moderada a fuerte intensidad en la selva. Esta precipitación estará acompañada de descargas eléctricas y ráfagas de viento con velocidades superiores a los 45 km/h. (SENAMHI / Aviso Meteorológico N°221).

El viernes 28 de octubre, se prevén acumulados de lluvia por encima de los 30 mm/día en la selva centro, sobre los 70 mm/día en la selva alta sur, próximos a los 40 mm/día en la selva norte y valores superiores a los 30 mm/día en la selva baja sur.

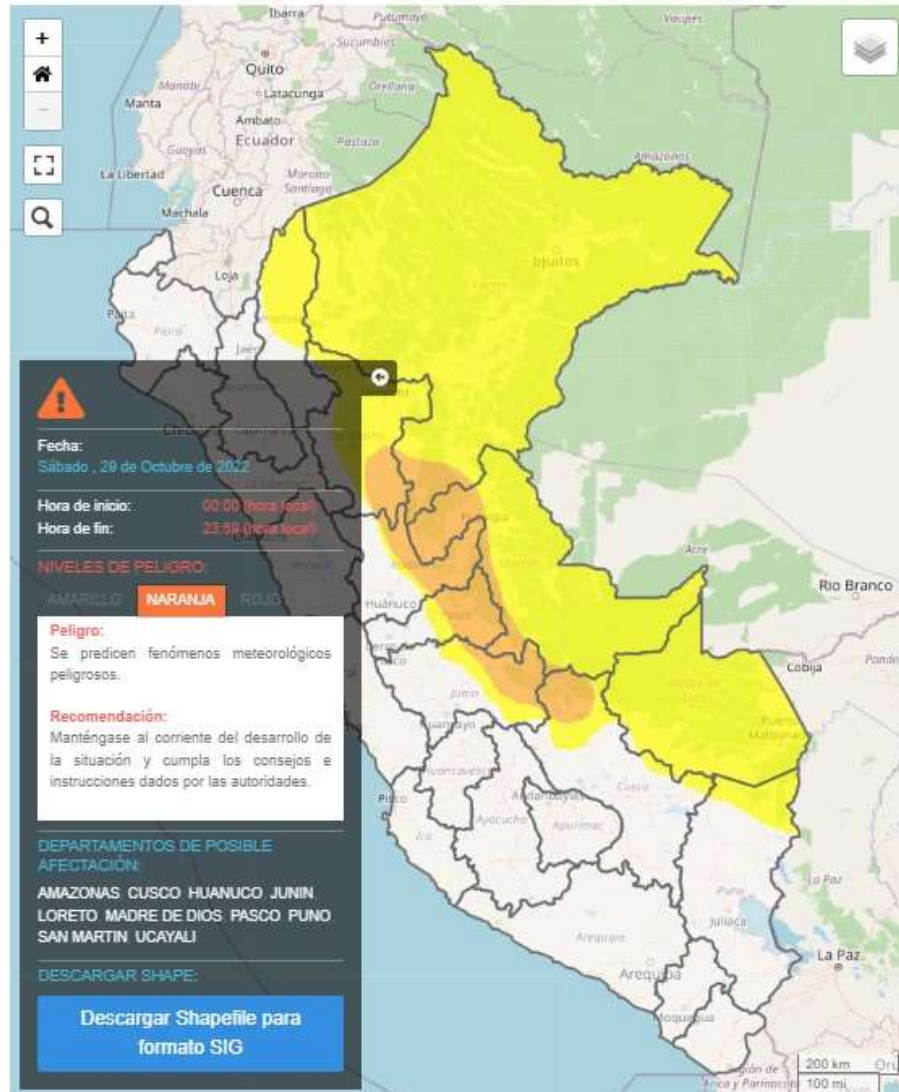
Figura 2. Pronóstico de lluvia en la selva del 28 de octubre del 2022



Fuente: SENAMHI Aviso Meteorológico N°221

El sábado 29 de octubre, se prevén acumulados de lluvia cercanos a los 50 mm/día en la selva norte, por encima de los 40 mm/día en la selva centro y próximos a los 35 mm/día en la selva sur.

Figura 3. Pronóstico de lluvia en la selva del 29 de octubre del 2022



Fuente: SENAMHI Aviso Meteorológico N°221

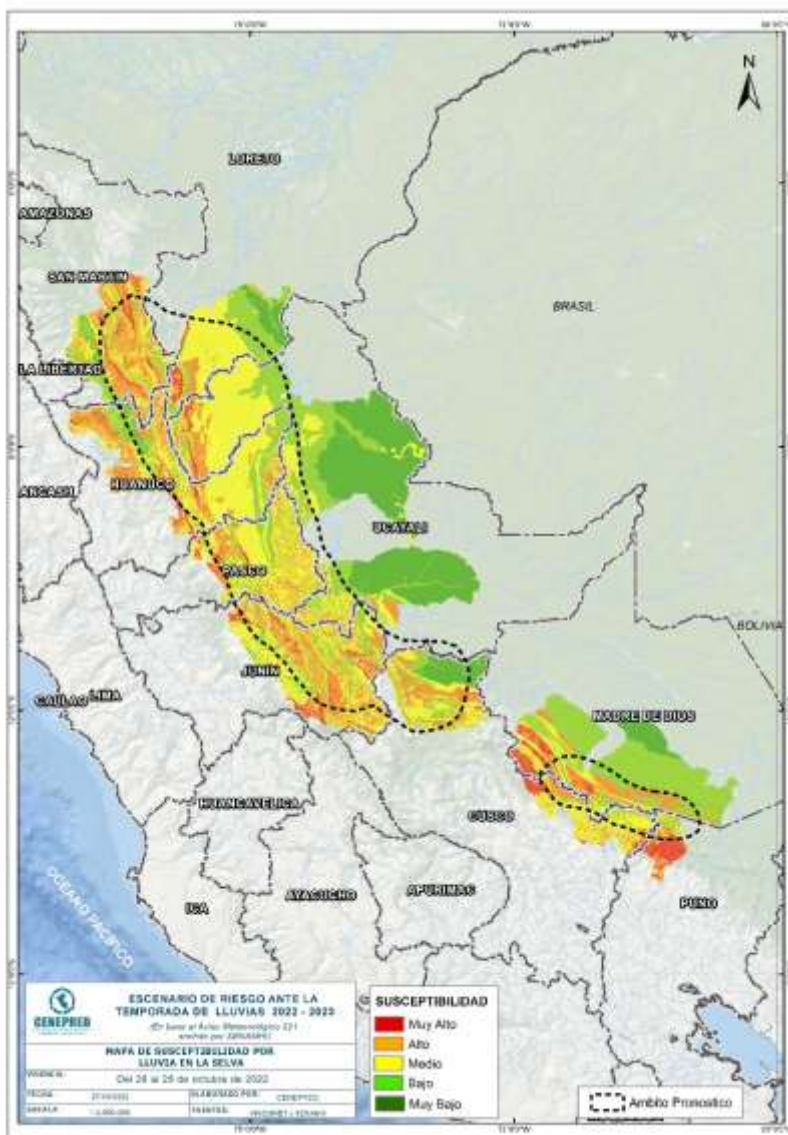
Para efectos de análisis se ha unido el ámbito de los diferentes días que implica el aviso, obteniendo un solo ámbito de exposición por los días de duración del aviso.

### III. ANÁLISIS DE SUSCEPTIBILIDAD POR MOVIMIENTOS EN MASA

La probabilidad de la ocurrencia de lluvias de fuerte intensidad durante estos días, desencadenarían la posible presencia de deslizamientos, flujos de detritos (huaycos) u otro tipo de movimientos en masa, que traería consigo situaciones de riesgo. No obstante, no se descarta la presencia de estas en las zonas donde se prevé condiciones normales o de déficit de lluvias.

Para la identificación de los ámbitos con mayor propensión a estos eventos se ha tomado como base el Mapa de Susceptibilidad a Movimientos en Masa<sup>1</sup> (INGEMMET).

Figura 4. Susceptibilidad a movimientos en masa en la selva



Fuente: CENEPRED, elaborado con información del INGEMMET y SENAMHI

<sup>1</sup> Cabe destacar que los mapas de susceptibilidad por movimientos en masa, si bien identifican áreas donde se pueden generar potencialmente tales eventos, en ellos no figura la totalidad de zonas a ser afectadas, ni predicen cuando ocurrirán los procesos analizados (Ayala-Carcedo y Olcinas 2002).

#### IV. ANÁLISIS DE EXPOSICIÓN SOCIOECONÓMICA

En el análisis de exposición socioeconómica, se consideró como unidad mínima de análisis el ámbito distrital. Las variables utilizadas son incidencia de pobreza, tasa de analfabetismo y tasa de desnutrición crónica infantil.

El valor de exposición se obtuvo mediante el análisis con sistemas de información geográfica (SIG), con la finalidad de poder representarlo cartográficamente.

Se estimó el valor de importancia (ponderación) de cada uno de los parámetros mediante el Proceso de Análisis Jerárquico (método de Saaty). Posteriormente, se determinó para cada parámetro los respectivos descriptores, representados por sus quintiles, estimándose también para estos una ponderación mediante el mismo método.

Este procedimiento se muestra en la Tabla 1, dando como resultado el valor de exposición para cada distrito.

Tabla 1. Matriz de ponderación utilizada para la evaluación de los niveles de exposición.

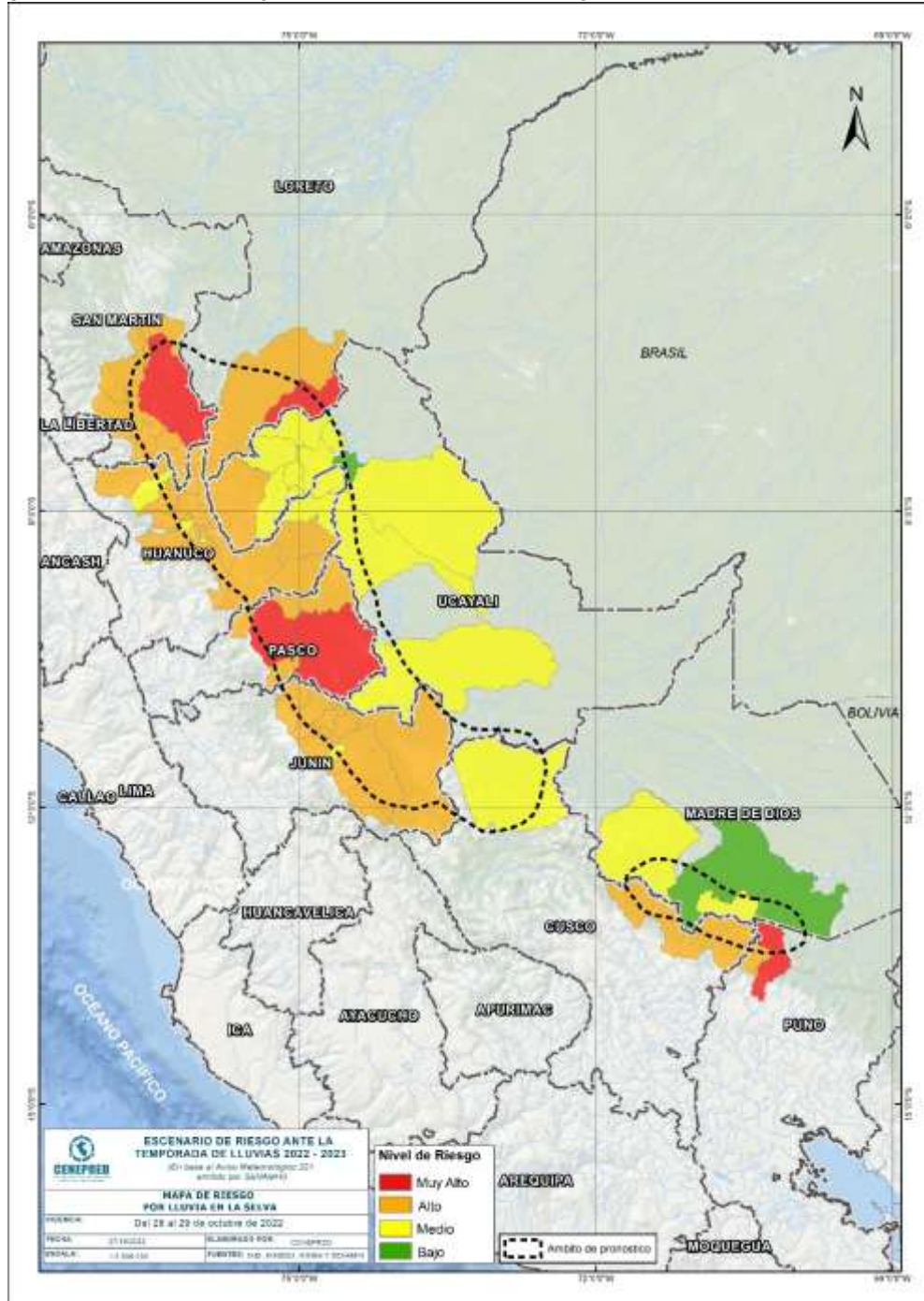
Descriptor	Parámetros de evaluación									Valor de exposición	Rango	Nivel de exposición
	Incidencia de pobreza	Valor	Peso	Tasa de Desnutrición Crónica	Valor	Peso	Tasa de Analfabetismo	Valor	Peso			
D5	Mayor a 63.8%	0.459	0.608	34.2% a 61.7%	0.416	0.272	20.8% a 45.5%	0.432	0.120	0.444	0.262 < R =< 0.444	<b>Muy Alto</b>
D4	50.7% a 63.7%	0.259	0.608	26.0% a 34.1%	0.262	0.272	14.1% a 20.7%	0.283	0.120	0.262	0.153 < R =< 0.262	<b>Alto</b>
D3	36.3% a 50.6%	0.150	0.608	19% a 25.9%	0.161	0.272	9.6% a 14.0%	0.152	0.120	0.153	0.089 < R =< 0.153	<b>Medio</b>
D2	21.8% a 36.2%	0.085	0.608	9.1% a 18.9%	0.099	0.272	5.4% a 9.5%	0.086	0.120	0.089	0.051 < R =< 0.089	<b>Bajo</b>
D1	Menor a 21.8%	0.047	0.608	Menor a 9.1%	0.062	0.272	Menor a 5.4%	0.048	0.120	0.051		

Fuente: CENEPRED, elaborado con información del INEI y el MINSA.

## V. ESCENARIO PROBABLE DE RIESGO

Una vez identificado los niveles de susceptibilidad a movimientos en masa y los niveles de exposición de la población, a nivel distrital, se procede a la conjunción de ambos factores para el cálculo de la probabilidad del riesgo (Tabla 2).

Figura 5. Escenario de riesgo por movimientos en masa según el pronóstico de lluvia en la selva



Fuente: CENEPRED

Tabla 2. Elementos expuestos por departamentos según su nivel de riesgo.

Nivel de Riesgo		Muy Alto					Alto				
		Elementos expuestos									
DEPARTAMENTOS		Cantidad Distritos	Población	Viviendas	Establec. Salud	Instituc. Educativas	Cantidad Distritos	Población	Viviendas	Establec. Salud	Instituc. Educativas
1	<b>CUSCO</b>	0	0	0	0	0	2	6,622	1,768	3	24
2	<b>HUANUCO</b>	0	0	0	0	0	16	127,637	35,901	91	626
3	<b>JUNIN</b>	0	0	0	0	0	8	249,398	64,543	131	1,500
4	<b>LORETO</b>	1	3,697	904	6	42	1	23,883	5,093	21	136
5	<b>MADRE DE DIOS</b>	0	0	0	0	0	0	0	0	0	0
6	<b>PASCO</b>	2	24,379	6,293	54	291	3	35,419	9,250	40	240
7	<b>PUNO</b>	1	9,299	3,708	7	39	1	6,832	1,817	2	40
8	<b>SAN MARTIN</b>	1	7,639	1,902	6	64	8	101,956	26,489	65	368
9	<b>UCAYALI</b>	0	0	0	0	0	1	29,440	7,542	8	105
<b>TOTAL GENERAL</b>		<b>5</b>	<b>45,014</b>	<b>12,807</b>	<b>73</b>	<b>436</b>	<b>40</b>	<b>581,187</b>	<b>152,403</b>	<b>361</b>	<b>3,039</b>

Fuente: CENEPRED, elaborado con la información del INEI\*, MINSA\*\* y MINEDU\*\*\*

\*INEI: Cálculo de población y vivienda según Censos Nacionales 2017: XII de Población y VII de Vivienda

\*\*MINSA: Base RENIPRESS, octubre 2022

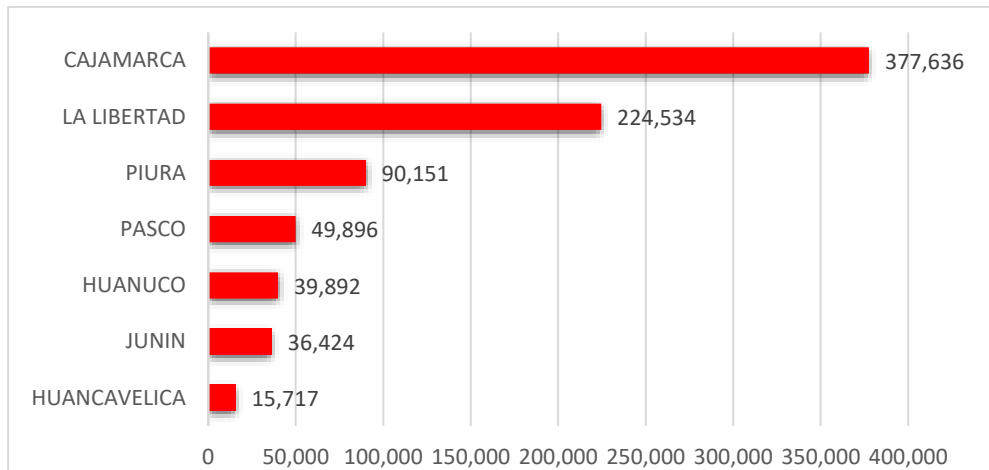
\*\*\*MINEDU: ESCALE, octubre 2022.



Finalmente, se presentan los resultados del escenario de riesgo por movimientos en masa:

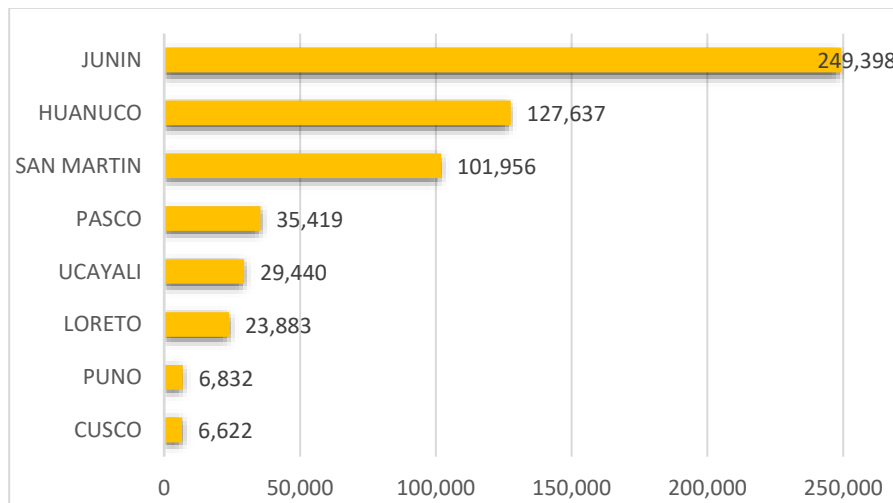
Los departamentos con nivel de riesgo Muy Alto comprenden una población expuesta de 45,014 habitantes (Figura 6); 12,807 viviendas; 73 establecimientos de salud y 436 instituciones educativas.

Figura 6. Población por departamento: Riesgo Muy Alto



Los departamentos con nivel de riesgo Alto comprenden una población expuesta de 581,187 habitantes (Figura 7); 152,403 viviendas; 361 establecimiento de salud y 3,039 instituciones educativas.

Figura 7. Población por departamento: Riesgo Alto



San Isidro, 27 de octubre de 2022

El CENEPRED actualizará esta información de acuerdo a los avisos meteorológicos remitidos por del SENAMHI. El resultado de esta información se encuentra disponible en el Sistema de Información para la Gestión del Riesgo de Desastres - SIGRID, y a través de la página web del CENEPRED <https://cenepred.gob.pe/web/escenario-riesgos/> para su descarga a fin de dar a conocer de manera detallada los parámetros utilizados.